

**ĐẠI HỌC QUỐC GIA THÀNH PHỐ HỒ CHÍ MINH
TRƯỜNG ĐẠI HỌC KHOA HỌC TỰ NHIÊN**

TRẦN TRUNG KIÊN

**HỌC ĐẶC TRƯNG KHÔNG GIÁM SÁT
BẰNG AUTO-ENCODERS**

Chuyên ngành: Khoa Học Máy Tính

Mã số chuyên ngành: 60 48 01

LUẬN VĂN THẠC SỸ: KHOA HỌC MÁY TÍNH

NGƯỜI HƯỚNG DẪN KHOA HỌC:

PGS.TS LÊ HOÀI BẮC

Tp. Hồ Chí Minh, Năm 2014

LỜI CẢM ƠN

Trước tiên, em xin gửi lời tri ân sâu sắc đến Thầy Lê Hoài Bắc. Thầy đã rất tận tâm, nhiệt tình hướng dẫn và chỉ bảo em trong suốt quá trình thực hiện luận văn. Không có sự quan tâm, theo dõi chặt chẽ của Thầy chắc chắn em không thể hoàn thành luận văn này.

Em xin chân thành cảm ơn quý Thầy Cô khoa Công Nghệ Thông Tin - trường đại học Khoa Học Tự Nhiên, những người đã ân cần giảng dạy, xây dựng cho em một nền tảng kiến thức vững chắc.

Con xin cảm ơn ba mẹ đã sinh thành, nuôi dưỡng, và dạy dỗ để con có được thành quả như ngày hôm nay. Ba mẹ luôn là nguồn động viên, nguồn sức mạnh hết sức lớn lao mỗi khi con gặp khó khăn trong cuộc sống.

TP. Hồ Chí Minh, 3/2014

Trần Trung Kiên

MỤC LỤC

LỜI CẢM ƠN	i
MỤC LỤC	ii
DANH MỤC HÌNH ẢNH	iv
DANH MỤC BẢNG	v
Chương 1 Giới thiệu	1
1.1 Các phương pháp Dịch máy	3
1.2 Dịch máy Nơ-ron	4
1.3 Cấu trúc của khóa luận	6
Chương 2 Kiến Thức Nền Tảng	8
2.1 Mạng nơ-ron hồi quy (Recurrent neural network)	8
2.2 Long short-term memory	10
2.3 Kiến trúc bộ mã hóa - bộ giải mã	10
2.3.1 Bộ mã hóa	10
2.3.2 Bộ giải mã	10
Chương 3 Các Kết Quả Thí Nghiệm	11
3.1 Các thiết lập thí nghiệm	11
3.2 SGD và SW-SGD	13
3.3 Cách ràng buộc trọng số đề xuất của chúng tôi và các cách ràng buộc trọng số khác	16
3.4 SRAEs và các loại “Auto-Encoders” khác	18

Chương 4	Kết Luận và Hướng Phát Triển	20
4.1	Kết luận	20
4.2	Hướng phát triển	21
Phụ Lục:	Các Công Trình Đã Công Bố	23
TÀI LIỆU THAM KHẢO		34

DANH MỤC HÌNH ẢNH

1.1	Lịch sử tóm tắt của dịch máy	2
1.2	Ví dụ về tập các câu song song trong hai ngôn ngữ	4
1.3	Ví dụ về Kiến trúc <i>bộ mã hóa</i> - <i>bộ giải mã</i> trong dịch máy bờ-ron . . .	5
1.4	Kiến trúc bộ mã hóa - bộ giải mã được xây dựng trên mạng nơ-ron hồi quy	5
1.5	Cơ chế Attention trong dịch máy nơ-ron	6
3.1	Một số ảnh mẫu của bộ dữ liệu MNIST	12
3.2	So sánh giữa SGD với SW-SGD	14
3.3	So sánh giữa các bộ lọc học được bởi SGD với SW-SGD	15

DANH MỤC BẢNG

3.1	So sánh giữa SGD với SW-SGD	15
3.2	So sánh giữa cách ràng buộc trọng số của chúng tôi với các cách ràng buộc trọng số khác	18
3.3	So sánh giữa SRAEs với các loại “Auto-Encoders” khác	19

Chương 1

Giới thiệu

Nhờ vào những cải cách trong giao thông và cơ sở hạ tầng viễn thông mà giờ đây toàn cầu hóa đang trở nên gần với chúng ta hơn bao giờ hết. Trong xu hướng đó nhu cầu giao tiếp và thông hiểu giữa những nền văn hóa là không thể thiếu. Tuy nhiên, những nền văn hóa khác nhau thường kèm theo đó là sự khác biệt về ngôn ngữ, là một trong những trở ngại lớn nhất của sự giao tiếp. Một người phải mất rất nhiều thời gian để thành thạo một ngôn ngữ không phải là tiếng mẹ đẻ, và không thể nào học được nhiều ngôn ngữ cùng lúc. Cho nên, việc phát triển một công cụ để giải quyết vấn đề này là tất yếu. Một trong những công cụ như vậy là *Dịch máy*.

Dịch máy là quá trình chuyển đổi văn bản/tiếng nói từ ngôn ngữ này sang dạng tương ứng của nó trong một ngôn ngữ khác, được thực hiện bởi một chương trình máy tính nhằm mục đích cung cấp bản dịch tốt nhất mà không cần sự trợ giúp của con người. Dịch máy có một quá trình lịch sử lâu dài, từ thế kỷ 17, đã có những ý tưởng về một loại ngôn ngữ mang ý nghĩa phổ quát nhưng mãi đến những năm 1950 những nghiên cứu về dịch máy mới thật sự bắt đầu. Trong thời kì Chiến tranh Lạnh, vào ngày 7 tháng 1 năm 1954, tại trụ sở chính của IBM ở New York, thử nghiệm Georgetown-IBM được tiến hành. Máy tính IBM 701 đã tự động dịch 49 câu tiếng Nga sang tiếng Anh lần đầu tiên trong lịch sử chỉ sử dụng 250 từ vựng và sáu luật ngữ pháp. Thử nghiệm này được xem như là một thành công và mở ra kỉ nguyên cho những nghiên cứu với kinh phí lớn về dịch máy ở Hoa Kỳ. Ở Liên Xô những thí nghiệm tương tự cũng được thực hiện không lâu sau đó.

Trong một thập kỷ tiếp theo, nhiều nhóm nghiên cứu về dịch máy được thành lập. Một số nhóm chấp nhận phương pháp thử và sai, thường dựa trên thống kê với mục



Hình 1.1: Lịch sử tóm tắt của dịch máy, nguồn ảnh: Ilya Pestov trong blog [A history of machine translation from the Cold War to deep learning](#)

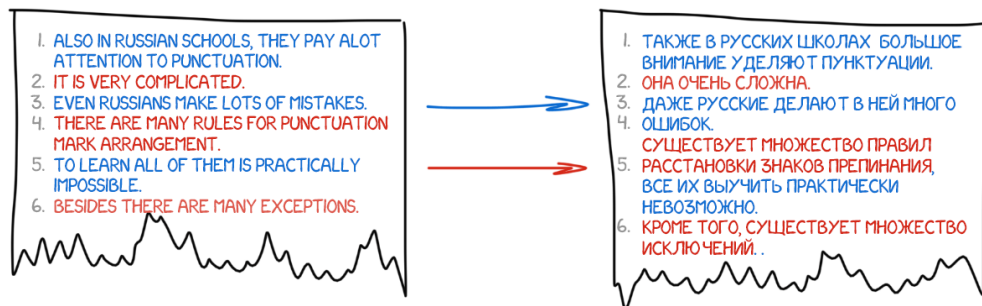
tiêu là một hệ thống dịch máy có thể hoạt động ngay lập tức, tiêu biểu như: nhóm nghiên cứu tại đại học Washington (và sau này là IBM) với hệ thống dịch Nga-Anh cho Không quân Hoa Kỳ, những nghiên cứu tại viện Cơ học Chính xác ở Liên Xô và Phòng thí nghiệm Vật lý Quốc gia ở Anh. Trong khi một số khác hướng đến giải pháp lâu dài với hướng tiếp cận lý thuyết bao gồm cả những vấn đề liên quan đến ngôn ngữ cơ bản như nhóm nghiên cứu tại Trung tâm nghiên cứu lý thuyết tại MIT, Đại học Havard và Đơn vị nghiên cứu ngôn ngữ Đại học Cambridge. Những nghiên cứu trong giai đoạn này có tầm quan trọng và ảnh hưởng lâu dài không chỉ cho Dịch máy mà còn cho nhiều ngành khác như Ngôn ngữ học tính toán, Trí tuệ nhân tạo - cụ thể là việc phát triển các từ điển tự động và kỹ thuật phân tích cú pháp. Nhiều nhóm nghiên cứu đã đóng góp đáng kể cho việc phát triển lý thuyết ngôn ngữ. Tuy nhiên, mục tiêu cơ bản của dịch máy là xây dựng hệ thống có khả năng tạo ra bản dịch tốt lại không đạt được dẫn đến một kết quả là vào năm 1966 bản báo cáo từ Ủy ban tư vấn xử lý ngôn ngữ tự động (Automatic Language Processing Advisory) của Hoa Kỳ, tuyên bố rằng dịch máy là đắt tiền, không chính xác và không mang lại kết quả hứa hẹn. Thay vào đó, họ đề nghị tập trung vào phát triển các từ điển, điều này đã loại bỏ các nhà nghiên cứu Mỹ ra khỏi cuộc đua trong gần một thập kỷ.

Các phương pháp Dịch máy

Từ đó đến nay, đã có nhiều hướng tiếp cận đã được sử dụng trong dịch máy với mục tiêu tạo ra bản dịch có độ chính xác cao và giảm thiểu công sức của con người có thể chia làm hai nhóm. Nhóm đầu tiên là những hướng tiếp cận dựa trên *Từ điển* (Dictionary based). Đây là hướng tiếp cận chính cho những nghiên cứu về dịch máy trong những năm 1950-1960. Những phương pháp dựa trên hướng tiếp cận từ điển có thể kể đến như *Dịch máy trực tiếp* (Direct machine translation), *Dịch máy chuyển dịch* (Transfer-based machine translation) hay *Dịch máy ngôn ngữ đại diện* (Interlingual machine translation). Điểm chung của những phương pháp này là dùng một từ điển để dịch các từ từ ngôn ngữ nguồn sang ngôn ngữ đích và sau đó cố gắng chỉnh sửa bản dịch để tạo ra một câu có nghĩa. Nhóm phương pháp này thường yêu cầu một bộ từ điển giữa hai ngôn ngữ cần dịch và một tập các quy tắc ngữ pháp cho mỗi ngôn ngữ. Bản dịch của hướng tiếp cận Từ điển thường có chất lượng kém và không sử dụng được trừ một số trường hợp đặc biệt. Ngoài ra chúng còn đòi hỏi một lượng nhân lực lớn với hiểu biết sâu sắc cho việc xây dựng những bộ từ điển và các quy tắc ngôn ngữ.

Nhóm thứ hai là những hướng tiếp cận dựa trên *Ngữ liệu* (Corpus based). Nhóm này hoạt động dựa trên một tập dữ liệu song song của các cặp câu là bản dịch của nhau trong hai ngôn ngữ gọi là ngữ liệu và chỉ yêu cầu những tri thức tối thiểu về ngôn ngữ học. Trước khi dịch máy nơ-ron ra đời, phương pháp nổi bật và hiệu quả nhất dựa trên hướng tiếp cận này chính là *Dịch máy thống kê* (Statistical machine translation). Vào năm 1990, IBM công bố hệ thống dịch máy thống kê của họ, đây là hệ thống đầu tiên có khả năng tạo ra bản dịch mà không cần biết gì về các từ hay quy tắc ngữ pháp của ngôn ngữ. Chỉ cần cung cấp bộ ngữ liệu, hệ thống này phân tích các câu tương ứng trong ngữ liệu đó để hiểu được các mô hình bên dưới.

PARALLEL CORPUS



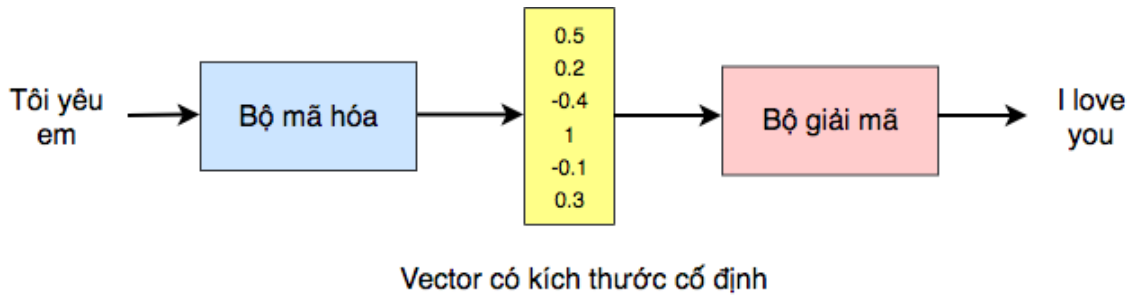
Hình 1.2: Ví dụ về tập các câu song song trong hai ngôn ngữ

Dịch máy Nơ-ron

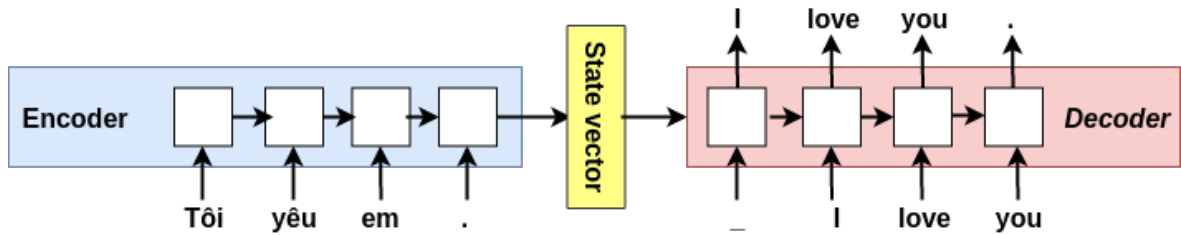
Mặc dù trên thực tế đã có nhiều hệ thống dịch máy được phát triển dựa trên dịch máy thống kê thời bấy giờ, tuy nhiên nó không hoạt động thực sự tốt bởi một số nguyên nhân. Một là việc những từ hay đoạn được dịch cục bộ và quan hệ của chúng với những từ cách xa trong câu nguồn thường bị bỏ qua. Hai là mô hình ngôn ngữ N-gram hoạt động không thực sự tốt đối với những bản dịch dài và ta phải tốn nhiều bộ nhớ để lưu trữ chúng. Ngoài ra việc sử dụng nhiều thành phần nhỏ được điều chỉnh riêng biệt như mô hình dịch, mô hình ngôn ngữ, giống hàng,... cũng gây khó khăn cho việc vận hành và phát triển mô hình này.

Dịch máy nơ-ron (Neural machine translation) là một hướng tiếp cận mới trong dịch máy trong những năm gần đây được đề xuất đầu tiên bởi [?], [?], [?]. Giống như dịch máy thống kê, dịch máy nơ-ron cũng là một phương pháp thuộc hướng tiếp cận dựa trên ngữ liệu, trong khi dịch máy thống kê bao gồm nhiều mô-đun nhỏ được điều chỉnh riêng biệt, Dịch máy nơ-ron cố gắng dùng một mạng nơ-ron như là thành phần duy nhất của hệ thống, mọi thiết lập sẽ được thực hiện trên mạng này.

Hầu hết những mô hình dịch máy nơ-ron đều dựa trên kiến trúc *Bộ mã hóa - Bộ giải mã* (Encoder-Decoder) ([?], [?]). Bộ mã hóa thường là một mạng nơ-ron có tác dụng "nén" tất cả thông tin của câu trong ngôn ngữ nguồn vào một vector có kích thước cố định. Bộ giải mã, cũng là một mạng nơ-ron, sẽ tạo bản dịch trong ngôn ngữ đích từ vector có kích thước cố định kia. Toàn bộ hệ thống bao gồm bộ mã hóa và bộ giải mã sẽ được huấn luyện "end-to-end" để tạo ra bản dịch, quá trình này được mô tả



Hình 1.3: Ví dụ về kiến trúc bộ mã hóa - bộ giải mã trong dịch máy nơ-ron

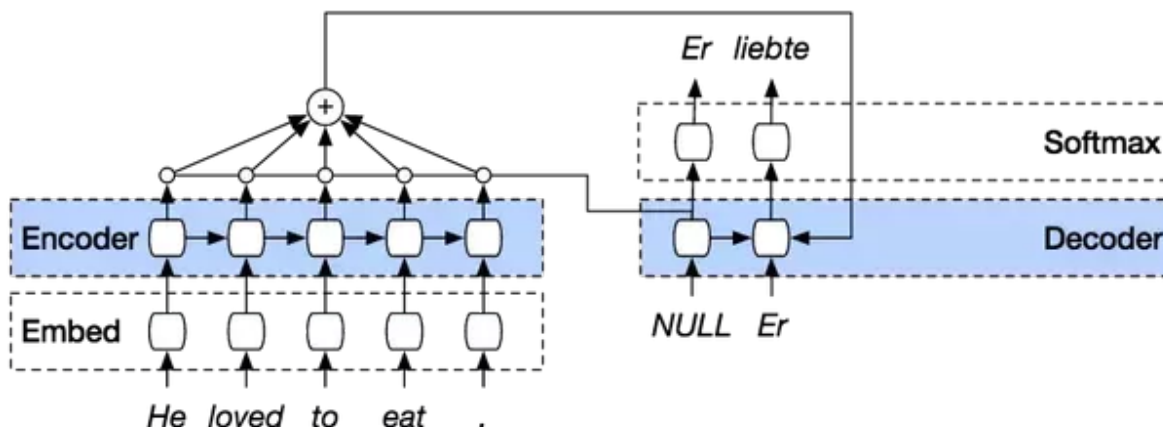


Hình 1.4: Kiến trúc bộ mã hóa - bộ giải mã được xây dựng trên mạng nơ-ron hồi quy

như hình 1.2.

Trong thực tế cả bộ mã hóa và giải mã thường dựa trên một mô hình mạng nơ-ron tên là *Mạng nơ-ron hồi quy* là một thiết kế mạng đặc trưng cho việc xử lý dữ liệu chuỗi. Mạng nơ-ron hồi quy cho phép chúng ta mô hình hóa những dữ liệu có độ dài không xác định, rất thích hợp cho bài toán dịch máy. Hình 1.3 mô tả chi tiết hơn về kiến trúc bộ mã hóa - giải mã sử dụng mạng nơ-ron hồi quy. Đầu tiên bộ mã hóa đọc qua toàn bộ câu nguồn và tạo ra một vector đại diện gọi là *vector trạng thái*. Điều này giúp cho toàn bộ những thông tin cần thiết hay quan hệ giữa các từ đều được tập hợp vào một nơi duy nhất. Bộ giải mã, lúc này đóng vai trò như một mô hình ngôn ngữ để tạo ra từng từ trong ngôn ngữ đích và sẽ dừng lại đến khi một ký tự đặc biệt xuất hiện.

Trong hình 2, có thể thấy rằng bộ giải mã tạo ra bản dịch chỉ dựa trên trạng thái ẩn cuối cùng, cũng chính là vector có kích thước cố định được tạo ra ở bộ mã hóa. Vector này phải mã hóa mọi thứ chúng ta cần biết về câu nguồn. Giả sử chúng ta có câu nguồn với độ dài là 50 từ, từ đầu tiên ở câu đích có lẽ sẽ có mối tương quan cao với từ đầu tiên ở câu nguồn. Điều này có nghĩa là bộ giải mã phải xem xét thông tin được mã hóa từ 50 "*time step*" trước đó. Mạng nơ-ron hồi quy được chứng minh là gặp khó khăn trong việc mã hóa những chuỗi dài [?]. Để giải quyết vấn đề này, thay vì dùng mạng nơ-ron hồi quy thuần, người ta sử dụng các biến thể của nó quy như



Hình 1.5: Cơ chế Attention trong dịch máy nơ-ron

Long short-term memory (LSTM). Trên lý thuyết, LSTM có thể giải quyết vấn đề mất mát thông tin trong chuỗi dài, nhưng trong thực tế vấn đề này vẫn chưa thể được giải quyết hoàn toàn. Một số nhà nghiên cứu đã phát hiện ra rằng đảo ngược chuỗi nguồn trước khi đưa vào bộ mã hóa tạo ra kết quả tốt hơn một cách đáng kể [?] bởi nó khiến cho những từ đầu tiên được đưa vào bộ mã hóa sau cùng, và được giải mã thành từ tương ứng ngay sau đó. Cách làm này tuy giúp cho bản dịch hoạt động tốt hơn trong thực tế, nhưng nó không phải là một giải pháp về mặt thuật toán. Hầu hết các đánh giá về dịch máy được thực hiện trên các ngôn ngữ như ngôn ngữ có trật tự câu tương đối giống nhau. Ví dụ trật tự dạng "chủ ngữ - động từ - vị ngữ" như tiếng Anh, Đức, Pháp hay Trung Quốc. Đối với dạng ngôn ngữ có một trật tự khác ví dụ "chủ ngữ - vị ngữ - động từ" như tiếng Nhật, đảo ngược câu nguồn sẽ không hiệu quả.

Attention là cơ chế giải phóng kiến trúc bộ mã hóa - bộ giải mã khỏi nhược điểm chỉ sử dụng một vector có chiều dài cố định làm đại diện cho câu đầu vào. Ý tưởng chính của cơ chế này là ở mỗi thời điểm phát sinh các từ trong bản dịch, bộ giải mã sẽ "nhìn" vào các phần khác nhau của câu nguồn trong quá trình mã hóa. Quan trọng hơn, cơ chế này cho phép mô hình học được cách chọn những phần cần thiết để tập trung vào dựa trên câu nguồn và những gì mà bộ giải mã đã giải mã được.

Cấu trúc của khóa luận

Trong khóa luận này, chúng tôi quyết định tập trung nghiên cứu về dịch máy nơ-ron và cơ chế Attention dựa trên nghiên cứu của nhóm tác giả tại đại học Stanford bao gồm

Minh-Thang Luong, Hieu Pham, Christopher Manning trong bài báo *Effective Approaches to Attention-based Neural Machine Translation* [?]. Các phần còn lại trong luận văn được trình bày như sau:

- Chương 2 trình bày về những thành nền tảng của kiến trúc bộ mã hóa - giải mã
- Chương 3 trình bày về cơ chế Attention, đây là phần chính của luận văn. Trong phần này gồm có hai phần nhỏ:
 - *Global attention*: là cơ chế tập trung vào tất cả các trạng thái ở câu nguồn
 - *Local attention*: tập trung vào một tập các trạng thái ở câu nguồn tại một thời điểm
- Chương 4 trình bày về các thí nghiệm và các phân tích về kết quả đạt trên hai tập dữ liệu Anh-Đức, Anh-Việt.
- Kết luận và hướng phát triển của luận văn.

Chương 2

Kiến Thức Nền Tảng

Trong chương này, chúng tôi sẽ trình bày những kiến thức nền tảng trên ba chủ đề chính bao gồm *Mạng nơ-ron hồi quy (Recurrent neural network)* và biến thể của nó *Long short-term memory* với khả năng giải quyết vấn đề về các *phụ thuộc dài hạn (Long term dependencies)*. Chúng tôi cũng trình bày về mô hình dịch máy nơ-ron dựa trên kiến trúc bộ mã hóa - bộ giải mã đã được đề cập đến trong chương giới thiệu. Những kiến thức được trình bày trong chương này cung cấp những nền tảng cũng như phân tích các vấn đề mà kiến trúc bộ mã hóa - bộ giải mã gặp phải để đi đến chương tiếp theo về cơ chế *Attention* trong dịch máy nơ-ron.

Mạng nơ-ron hồi quy (Recurrent neural network)

Trong bài toán dịch máy với dữ liệu văn bản, ta biết rằng những từ trong một câu hoặc một đoạn văn không bao giờ là độc lập với nhau. Ví dụ như trong câu sau *Sư tử là loài động vật ăn ____*. Dễ biết được rằng từ trong chỗ trống sẽ là *thịt*. Tuy nhiên, trong trường hợp không đọc những từ phía trước, chúng ta không thể nào đoán được từ trong chỗ trống là gì. Điều này có nghĩa là một từ luôn có mối liên hệ với những từ phía trước nó và chúng có một thứ tự. Ta gọi loại dữ liệu có thứ tự là dữ liệu chuỗi.

Mạng nơ-ron hồi quy (recurrent neural network) [?] gọi tắt là *RNN* là một nhánh của Mạng nơ-ron nhân tạo được thiết kế đặc biệt cho việc mô hình hóa loại dữ liệu chuỗi. Lý do mà mạng nơ-ron hồi quy thích hợp cho dữ liệu chuỗi là vì nó tận dụng được tính chất tuần tự của loại dữ liệu này.

Ta hãy xem xét một ví dụ về não người trong quá trình tạo ra các hành động. Khi chạm tay vào vật nóng, não sẽ tạo ra một tín hiệu để ra lệnh cho cơ thể chúng ta rút tay lại. Không những thế, cảm giác nóng sẽ chuyển hóa thành một suy nghĩ. Suy nghĩ này lại được truyền qua não và dựa trên thông tin của giác quan, ta tiếp tục thực hiện một hành động khác. Ví dụ nhúng tay vào nước khi biết có nước gần đó. Có thể hình dung một cách đơn giản rằng não người hoạt động như một hàm *hồi quy*, nó nhận vào thông tin của giác quan và một suy nghĩ nội tại để tạo ra một hành động và suy nghĩ mới. Suy nghĩ mới này bao gồm cả những suy nghĩ trước đó. Cách hoạt động của não người trong ví dụ trên cũng chính là cách mà mạng nơ-ron hồi quy làm việc. Trong đó, tại mỗi thời điểm, thông tin về giác quan được xem như đầu vào của RNN và đầu ra là một hành động. "Suy nghĩ" hoạt động như một loại bộ nhớ giúp RNN lưu giữ thông tin về bối cảnh, là những gì mà nó đã xử lý trong quá khứ. Việc sở hữu một loại "bộ nhớ" khiến RNN trở thành mô hình phù hợp cho dữ liệu chuỗi. Trong thực tế, mạng nơ-ron hồi quy được áp dụng thành công trong các bài toán mô hình hóa ngôn ngữ ([?], [?],[?])

Một mạng nơ-ron hồi quy nhận đầu đầu vào là một chuỗi các vector x_1, x_2, \dots, x_n . Tại thời điểm $t (1 \leq t \leq n)$ vector x_t thuộc chuỗi đầu vào sẽ được đưa vào mạng nơ-ron hồi quy. RNN xử lý vector đó và cập nhật trạng thái ẩn nội tại của nó được đại diện bởi vector h_t . Có thể hình dung h_t như là một bộ nhớ lưu giữ thông tin về các vector mà nó đã xử lý cho đến thời điểm t . Ở dạng cơ bản nhất, công thức cập nhật trạng thái ẩn của RNN có dạng:

$$h_t = f(x_t, h_{t-1})$$

Trong công thức trên, hàm f tính trạng thái ẩn ở thời điểm t dựa trên đầu vào x_t và trạng thái ẩn tại thời điểm trước đó h_{t-1} . Thông thường, hàm f là một hàm phi tuyến như hàm *sigmoid* [?] hay hàm *tanh* [?].

$$h_t = \tanh(W_{xh}x_t + W_{hh}h_{t-1})$$

Với W_{xh} và W_{hh} là tham số của mô hình dưới dạng những ma trận số thực. Trạng thái ẩn bắt đầu h_0 có thể được khởi tạo bằng 0 hoặc là một vector chứa tri thức có sẵn như trường hợp của bộ giải mã như chúng tôi đã đề cập trong chương 1.

Long short-term memory

Kiến trúc bộ mã hóa - bộ giải mã

Bộ mã hóa

Bộ giải mã

Chương 3

Các Kết Quả Thí Nghiệm

Trong chương này, chúng tôi trình bày các kết quả thí nghiệm để đánh giá các đề xuất đã được nói ở chương trước. Bộ dữ liệu được dùng để tiến hành các thí nghiệm là bộ MNIST (bộ ảnh chữ số viết tay gồm các chữ số từ 0 đến 9). Các kết quả thí nghiệm cho thấy khi huấn luyện “Sparse Rectified Auto-Encoders” (SRAEs) với chuẩn $L1$ sẽ gặp phải vấn đề nơ-ron “ngủ”, và chiến lược “ngủ - đánh thức” trong thuật toán “Sleep-Wake Stochastic Gradient Descent” (SW-SGD) của chúng tôi có thể giúp khắc phục vấn đề này. Các kết quả thí nghiệm cũng cho thấy cách ràng buộc trọng số đề xuất của chúng tôi cho kết quả tốt nhất trong số các cách ràng buộc trọng số có thể áp dụng cho SRAEs. Cuối cùng, thí nghiệm cũng cho thấy SRAEs với hai đề xuất trên của chúng tôi (SW-SGD và cách ràng buộc trọng số) có thể học được những đặc trưng cho kết quả phân lớp tốt khi so sánh với các loại “Auto-Encoders” khác.

Các thiết lập thí nghiệm

Chúng tôi tiến hành các thí nghiệm trên bộ dữ liệu MNIST [8]; bộ dữ liệu này gồm các ảnh xám (có kích thước 28×28) của mười chữ số viết tay từ 0 đến 9. Ở hình 3.1 là một số ảnh mẫu của bộ dữ liệu này. Dữ liệu được tiến hành tiền xử lý bằng cách lấy mỗi giá trị điểm ảnh chia cho 255 để đưa về đoạn $[0, 1]$. Chúng tôi sử dụng cách phân chia thường được sử dụng cho bộ dữ liệu này: 50000 ảnh dùng để huấn luyện, 10000 ảnh dùng để chọn các siêu tham số (validation), và 10000 ảnh dùng để kiểm tra (test).



Hình 3.1: Một số ảnh mẫu của bộ dữ liệu MNIST

Chúng tôi sử dụng ngôn ngữ lập trình Theano [2] bởi vì ngôn ngữ này cho phép dễ dàng cài đặt các thuật toán và dễ dàng sử dụng GPU (Graphical Processing Units) để tính toán song song. Loại GPU mà chúng tôi sử dụng là NVIDIA GTX 560.

Sau khi tiến hành xong bước học đặc trưng không giám sát, chúng tôi đánh giá các đặc trưng học được bằng cách sử dụng chúng để huấn luyện mô hình phân lớp “Softmax Regression” và đo độ lỗi phân lớp. Một cách cụ thể, cho tập huấn luyện $\{(x^{(1)}, y^{(1)}), \dots, (x^{(N)}, y^{(N)})\}$ với $x^{(i)} \in \mathbb{R}^{D_x}$ là véc-tơ điểm ảnh và $y^{(i)} \in \{0, \dots, 9\}$ là nhãn lớp. Sau khi “Auto-Encoder” đã được huấn luyện trên tập không có nhãn $\{x^{(1)}, \dots, x^{(N)}\}$, ta lần lượt đưa từng véc-tơ $x^{(i)}$ vào “Auto-Encoder” và thu được ở tầng ẩn véc-tơ đặc trưng tương ứng $h^{(i)}$; bằng cách này, ta có được tập huấn luyện mới $\{(h^{(1)}, y^{(1)}), \dots, (h^{(N)}, y^{(N)})\}$. Kế đến, tập huấn luyện mới này được sử dụng để huấn luyện “Softmax Regression”. Để dự đoán nhãn lớp cho một véc-tơ đầu vào mới x_{test} , đầu tiên ta sử dụng “Auto-Encoder” đã được huấn luyện để tính véc-tơ đặc trưng tương ứng h_{test} ; sau đó đưa h_{test} này vào “Softmax Regression” đã được huấn luyện để tính giá trị nhãn lớp dự đoán.

Trong cả hai giai đoạn học không giám sát và có giám sát, chúng tôi sử dụng

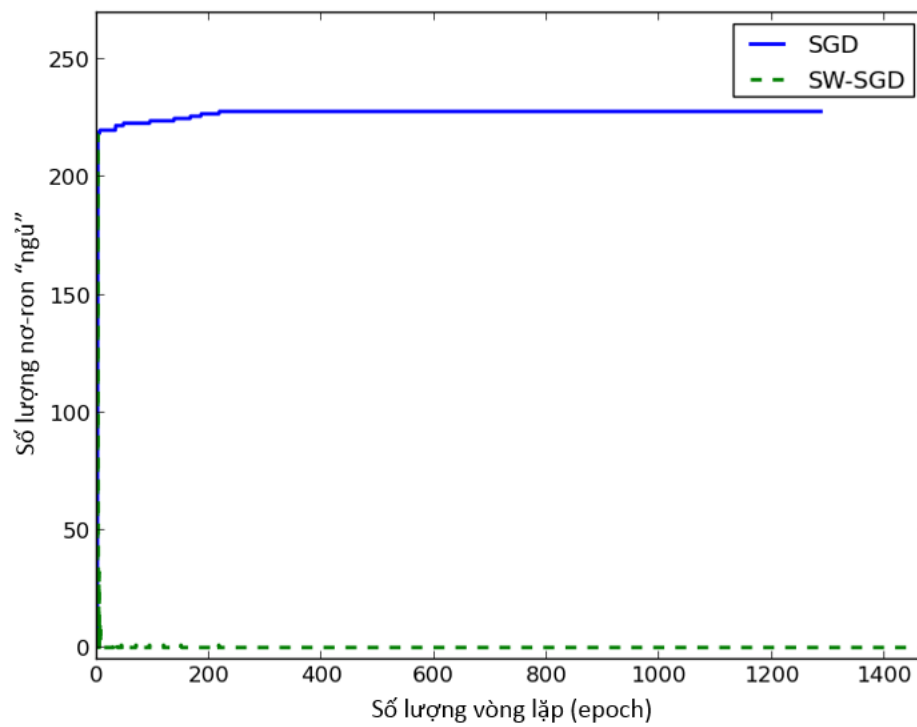
thuật toán để để cực tiểu hóa hàm chi phí là Stochastic Gradient Descent (SGD) với kích thước của “mini-batch” là 100 mẫu huấn luyện. Chiến lược “dừng sớm” (early stopping) được sử dụng để quyết định số vòng lặp (epoch) của SGD cũng như là để chống vấn đề quá khớp (trong giai đoạn học không giám sát, chúng tôi dừng quá trình tối ưu hóa dựa vào giá trị của hàm chi phí trên tập “validation”; còn trong giai đoạn học có giám sát, chúng tôi dựa vào độ lỗi phân lớp trên tập “validation”). Trong tất cả các thí nghiệm dưới đây, chúng tôi dùng SRAEs với 1000 nơ-ron ẩn, tham số “thỏa hiệp” giữa độ lỗi tái tạo và độ thưa λ bằng 0.25, hệ số học khi học không giám sát bằng 0.05, và hệ số học khi học có giám sát bằng 1 (số lượng nơ-ron ẩn được chọn theo [12], các siêu tham số còn lại được chọn dựa vào thực nghiệm).

SGD và SW-SGD

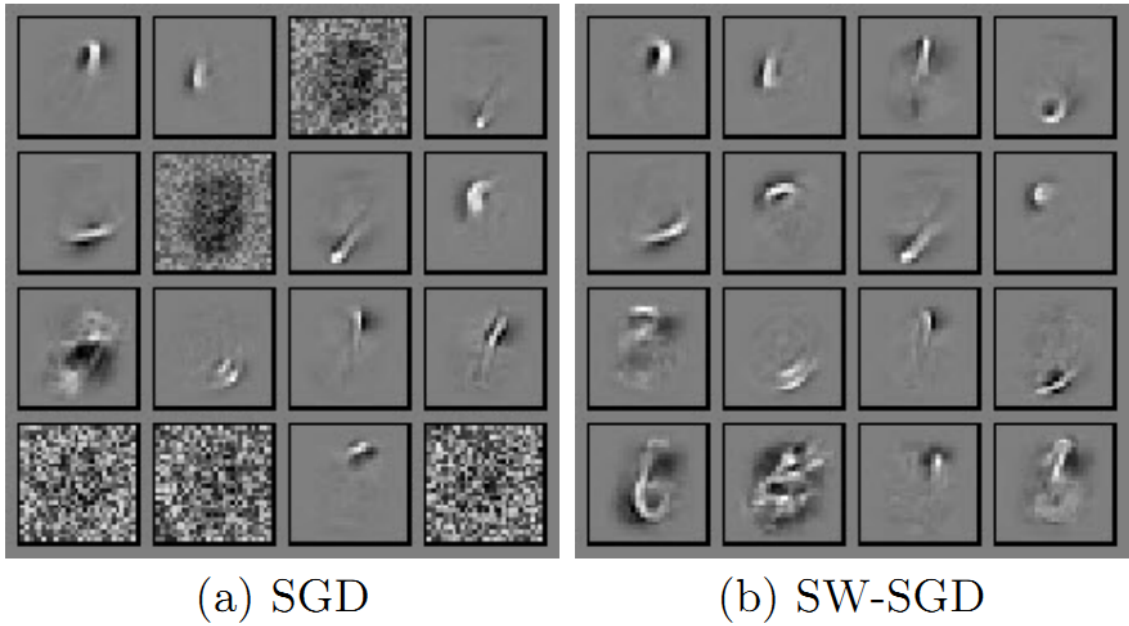
Để thấy được vấn đề gặp phải khi huấn luyện SRAEs với ràng buộc thưa bằng chuẩn L1 cũng như là tác dụng của chiến lược “ngủ - đánh thức” của chúng tôi, trong phần này chúng tôi so sánh việc huấn luyện SRAEs bằng thuật toán “Stochastic Gradient Descent” (SGD) và phiên bản điều chỉnh của chúng tôi, “Sleep-Wake Stochastic Gradient Descent” (SW-SGD). Trong thí nghiệm này, cách ràng buộc trọng số đề xuất của chúng tôi được sử dụng $(W^{(d)} = (W^{(e)})^T$, và các dòng của $W^{(e)}$ và các cột của $W^{(d)}$ được chuẩn hóa).

Hình 3.2 thể hiện số lượng nơ-ron “ngủ” của SRAEs trong khi thực hiện quá trình tối ưu hóa hàm chi phí với SGD và SW-SGD. Vấn đề gặp phải khi huấn luyện SRAEs với chuẩn L1 là trong quá trình tối ưu hóa, chuẩn L1 có thể đẩy các véc-tơ trọng số đi vào các nơ-ron ẩn vào trạng thái “ngủ” (nghĩa là, nơ-ron ẩn tương ứng luôn cho giá trị đầu ra bằng 0 với tất cả các mẫu huấn luyện) và sau đó, chúng sẽ không bao giờ còn được cập nhật nữa. Như có thể thấy từ hình 3.2, khi sử dụng SGD, số lượng nơ-ron “ngủ” tăng dần trong quá trình tối ưu hóa, đặc biệt là trong những vòng lặp đầu tiên, khi mà quá trình tối ưu hóa vẫn còn chưa ổn định. Vấn đề nơ-ron “ngủ” này của chuẩn L1 có thể được khắc phục một cách đơn giản bằng chiến lược “ngủ - đánh thức” của chúng tôi; quá trình tối ưu hóa của SW-SGD kết thúc mà không có nơ-ron “ngủ” nào cả.

Ở hình 3.3 là một số bộ lọc (một bộ lọc tương ứng với véc-tơ trọng số đi vào một



Hình 3.2: Số lượng nơ-ron “ngủ” của SRAEs trong khi thực hiện quá trình tối ưu hóa với SGD và với SW-SGD. Quá trình tối ưu hóa của SGD kết thúc với 228 nơ-ron “ngủ” trong tổng số 1000 nơ-ron; trong khi đó, SW-SGD kết thúc mà không có nơ-ron nào “ngủ”. (Hai quá trình tối ưu hóa của SGD và SW-SGD kết thúc sau các số lượng vòng lặp khác nhau là do chiến lược “dừng sớm”.)



Hình 3.3: Ở hình (a) là một số bộ lọc (một bộ lọc tương ứng với véc-tơ trọng số đi vào một nơ-ron ẩn) học được bởi SGD; ta có thể thấy có 5 bộ lọc nhìn vô nghĩa tương ứng với 5 nơ-ron “ngủ”. Còn ở hình (b) là các bộ lọc học được bởi SW-SGD; tất cả các bộ lọc đều nhìn có nghĩa, mỗi bộ lọc dò tìm một đường nét nào đó của chữ số.

Bảng 3.1: Giá trị hàm chi phí của SRAEs trên tập huấn luyện và độ lỗi phân lớp (với “Softmax Regression”) trên tập kiểm tra khi huấn luyện SRAEs với SGD và với SW-SGD.

	SGD	SW-SGD
Giá trị hàm chi phí của SRAEs trên tập huấn luyện	9.84	9.48
Độ lỗi phân lớp trên tập kiểm tra (%)	1.70	1.62

nơ-ron ẩn) học được bởi SGD và SW-SGD. Như ta có thể thấy, với SGD, có 5 nơ-ron “ngủ”; các bộ lọc của chúng nhìn vô nghĩa. Với SW-SGD, không có nơ-ron nào “ngủ”; tất cả các bộ lọc đều nhìn có nghĩa, mỗi bộ lọc dò tìm một đường nét nào đó của chữ số.

Nhờ sử dụng hết tất cả các nơ-ron ẩn, SW-SGD tìm được giá trị cực tiểu của hàm chi phí của SRAEs trên tập huấn luyện tốt hơn so với SGD; và các đặc trưng học được của SW-SGD cũng cho kết quả phân lớp (với “Softmax Regression”) trên tập kiểm tra tốt hơn so với SGD (bảng 3.1).

Cách ràng buộc trọng số đề xuất của chúng tôi và các cách ràng buộc trọng số khác

Trong thí nghiệm thứ hai này, cách ràng buộc trọng số đề xuất cho SRAEs của chúng tôi được so sánh với các cách ràng buộc trọng số khác mà có thể áp dụng cho SRAEs. Cụ thể ở đây, chúng tôi so sánh với các cách ràng buộc trọng số sau:

- $W^{(d)}$ **được chuẩn hóa**: các véc-tơ cột của $W^{(d)}$ được ràng buộc là chuẩn hóa (có độ dài bằng 1); mỗi véc-tơ cột của $W^{(d)}$ tương ứng với véc-tơ trọng số đi ra ở mỗi nơ-ron ẩn.
- $W^{(e)}$ và $W^{(d)}$ **được chuẩn hóa**: các véc-tơ dòng của $W^{(e)}$ và các véc-tơ cột của $W^{(d)}$ được ràng buộc là chuẩn hóa (có độ dài bằng 1); mỗi véc-tơ dòng của $W^{(e)}$ và mỗi véc-tơ cột của $W^{(d)}$ lần lượt tương ứng với véc-tơ trọng số đi vào và véc-tơ trọng số đi ra ở mỗi nơ-ron ẩn.
- $W^{(d)} = (W^{(e)})^T$: $W^{(e)}$ và $W^{(d)}$ được ràng buộc là chuyển vị của nhau.

Cách ràng buộc trọng số của chúng tôi là kết hợp của hai ràng buộc: $W^{(e)}$ và $W^{(d)}$ được chuẩn hóa, và $W^{(d)} = (W^{(e)})^T$. Trong thí nghiệm này, chúng tôi dùng SW-SGD để huấn luyện SRAEs.

Như có thể thấy ở bảng 3.2, trong số các cách ràng buộc trọng số, cách ràng buộc của chúng tôi giúp SRAEs học được những đặc trưng cho kết quả phân lớp (với “Softmax Regression”) tốt nhất trên tập kiểm tra. Ngoài ra, bảng 3.2 cũng so sánh thời gian huấn luyện SRAEs trên một vòng lặp (ứng với một lần duyệt qua toàn bộ các mẫu huấn luyện) với các cách ràng buộc trọng số khác nhau này (do chiến lược “dừng sớm”, quá trình huấn luyện SRAEs với các cách ràng buộc khác nhau có thể kết thúc sau các số lượng vòng lặp khác nhau; do đó, để chính xác, ta nên so sánh theo thời gian huấn luyện xét trên một vòng lặp hơn là tổng thời gian huấn luyện). Các cách ràng buộc trọng số được sắp xếp theo thứ tự thời gian huấn luyện (trên một vòng lặp) tăng dần là: $W^{(d)} = (W^{(e)})^T$ (2 giây), $W^{(d)}$ được chuẩn hóa (3 giây), cách ràng buộc trọng số của chúng tôi (4 giây), $W^{(e)}$ và $W^{(d)}$ được chuẩn hóa (5 giây). Thứ tự này là hợp lý:

- Ràng buộc $W^{(d)} = (W^{(e)})^T$ có thời gian huấn luyện nhanh nhất vì SRAEs không phải thực hiện bước chuẩn hóa.
- Ràng buộc $W^{(d)}$ được chuẩn hóa có thời gian huấn luyện lâu hơn vì bộ giải mã của SRAEs phải thực hiện bước chuẩn hóa khi lan truyền tiến; và do đó, khi lan truyền ngược, việc tính toán các đạo hàm riêng theo các tham số của bộ giải mã cũng sẽ tốn thời gian hơn bình thường.
- Ở cách ràng buộc trọng số của chúng tôi, khi lan truyền tiến, mặc dù cần phải thực hiện bước chuẩn hóa ở cả bộ mã hóa và bộ giải mã, nhưng nhờ vào ràng buộc $W^{(d)} = (W^{(e)})^T$, ta chỉ cần phải thực hiện bước chuẩn hóa cho bộ trọng số của bộ mã hóa, rồi sau đó dùng lại bộ trọng số đã được chuẩn hóa này cho bộ giải mã. Thời gian huấn luyện của cách ràng buộc này lâu hơn cách ràng buộc $W^{(d)}$ được chuẩn hóa ở trên vì khi lan truyền ngược, ngoài việc tính toán các đạo hàm riêng theo các tham số của bộ giải mã đã được chuẩn hóa, ta cũng cần phải tính toán các đạo hàm riêng theo các tham số của bộ mã hóa đã được chuẩn hóa (khi bộ mã hóa hay bộ giải mã phải thực hiện bước chuẩn hóa khi lan truyền tiến thì việc tính toán các đạo hàm riêng theo các tham số của chúng khi lan truyền ngược sẽ lâu hơn so với khi không thực hiện bước chuẩn hóa).
- Ràng buộc $W^{(e)}$ và $W^{(d)}$ được chuẩn hóa có thời gian huấn luyện lâu nhất vì khi lan truyền tiến, ta phải thực hiện bước chuẩn hóa riêng cho bộ mã hóa và bộ giải mã; và khi lan truyền ngược, ta phải tính toán các đạo hàm riêng theo các tham số của bộ giải mã và bộ mã hóa đã được chuẩn hóa.

Mặc dù thời gian huấn luyện (trên một vòng lặp) của cách ràng buộc trọng số của chúng tôi là khá cao khi so sánh với cách ràng buộc trọng số khác, nhưng nhìn chung nó vẫn nhanh (nhờ vào việc sử dụng GPU để tính toán song song). Tổng thời gian huấn luyện là khoảng 2.5 giờ.

Bảng 3.2: So sánh giữa cách ràng buộc trọng số cho SRAEs của chúng tôi với các cách ràng buộc trọng số khác mà có thể áp dụng cho SRAEs. Cách ràng buộc trọng số của chúng tôi giúp SRAEs học được những đặc trưng mà cho kết quả phân lớp (với “Softmax Regression”) tốt nhất trên tập kiểm tra. Ngoài ra, thời gian huấn luyện trên một vòng lặp của SRAEs với các cách ràng buộc trọng số khác nhau cũng được trình bày ở cột cuối cùng của bảng.

Cách ràng buộc trọng số	Độ lỗi phân lớp trên tập kiểm tra (%)	Thời gian huấn luyện của một vòng lặp (giây)
$W^{(d)}$ được chuẩn hóa	3.28	3
$W^{(e)}$ & $W^{(d)}$ được chuẩn hóa	2.51	5
$W^{(d)} = (W^{(e)})^T$	2.04	2
Cách ràng buộc của chúng tôi	1.62	4

SRAEs và các loại “Auto-Encoders” khác

Cuối cùng, chúng tôi cũng so sánh SRAEs (sử dụng cách ràng buộc trọng số của chúng tôi và dùng SW-SGD để huấn luyện) với các loại “Auto-Encoders” khác, bao gồm:

- **“Denoising Auto-Encoders” (DAEs)** [14]: DAEs muốn học được các đặc trưng “bền vững” bằng cách làm nhiễu véc-tơ đầu vào rồi sau đó cố gắng tái tạo lại véc-tơ đầu vào ban đầu từ véc-tơ đã bị làm nhiễu này (véc-tơ đầu vào đã bị làm nhiễu \rightarrow véc-tơ đặc trưng \rightarrow cố gắng tái tạo lại véc-tơ đầu vào không bị nhiễu).
- **“Contractive Auto-Encoders” (CAEs)** [13]: DAEs muốn học được các đặc trưng thỏa hai tính chất: (i) có thể tái tạo tốt véc-tơ đầu vào ban đầu, và (ii) bất biến đối với sự thay đổi nhỏ của véc-tơ đầu vào (bằng cách phạt chuẩn Frobenius của ma trận Jacobian của véc-tơ đặc trưng đối với véc-tơ đầu vào).
- **“Higher Order Contractive Auto-Encoders” (HCAEs)** [12]: HCAEs là mở rộng của CAEs; bên cạnh độ lỗi tái tạo và chuẩn Frobenius của ma trận Jacobian, HCAEs còn phạt thêm chuẩn Frobenius của ma trận Hessian.

Bảng 3.3 so sánh các đặc trưng học được (theo độ lỗi phân lớp trên tập kiểm tra) của SRAEs với các loại “Auto-Encoders” trên. Với DAEs, CAEs, HCAEs, [12] dùng 1000 nơ-ron ẩn, hàm kích hoạt sigmoid ở cả tầng ẩn và tầng đầu ra, độ lỗi tái tạo

Bảng 3.3: So sánh giữa SRAEs (sử dụng cách ràng buộc trọng số của chúng tôi và dùng SW-SGD để huấn luyện) với các loại “Auto-Encoders” khác, bao gồm: “Denoising Auto-Encoders” (DAEs), “Contractive Auto-Encoders” (CAEs), “Higher Order Contractive Auto-Encoders” (HCAEs).

Thuật toán học đặc trưng	Độ lỗi phân lớp trên tập kiểm tra (%)
DAEs [12]	2.05
CAEs [12]	1.82
SRAEs	1.62
HCAEs [12]	1.20

“cross-entropy”, và ràng buộc $W^{(e)}$ và $W^{(d)}$ là chuyển vị của nhau. Như có thể thấy, các đặc trưng học được bởi SRAEs cho kết quả phân lớp (với “Softmax Regression”) trên tập kiểm tra tốt hơn DAEs và CAEs, nhưng không tốt bằng HCAEs. Tuy nhiên, để ý là HCAEs phức tạp hơn nhiều so với SRAEs của chúng tôi với rất nhiều siêu tham số cần phải lựa chọn.

Chương 4

Kết Luận và Hướng Phát Triển

Kết luận

Trong luận văn này, chúng tôi nghiên cứu về bài toán học đặc trưng không giám sát bằng “Sparse Auto-Encoders” (SAEs). SAEs có thể học được những đặc trưng tương tự như “Sparse Coding”, nhưng điểm lợi là quá trình huấn luyện SAEs có thể được thực hiện một cách hiệu quả thông qua thuật toán lan truyền ngược, và với một véc-tơ đầu vào mới, SAEs có thể tính được véc-tơ đặc trưng tương ứng rất nhanh. Tuy nhiên, trong thực tế, không dễ để có thể làm SAEs “hoạt động”; có hai điểm ta cần phải làm rõ: (i) ràng buộc thưa, và (ii) ràng buộc trọng số. Đóng góp của luận văn là làm rõ SAEs ở hai điểm này. Cụ thể như sau:

- Về ràng buộc thưa, mặc dù chuẩn L1 là cách tự nhiên (vì L1 được dùng trong Sparse Coding) và đơn giản để ràng buộc tính thưa của véc-tơ đặc trưng, nhưng L1 lại thường không được dùng trong SAEs với lý do vẫn còn chưa rõ ràng. Thay vì dùng L1, các bài báo về SAEs thường ràng buộc thưa bằng cách ép giá trị đầu ra trung bình của mỗi nơ-ron ẩn về một giá trị cố định gần 0. Nhưng giá trị cố định này lại thêm một siêu tham số vào danh sách các siêu tham số vốn đã có rất nhiều của SAEs; điều này sẽ làm cho quá trình chọn lựa các siêu tham số trở nên “phiền phức” hơn và tốn thời gian hơn. Trong luận văn, chúng tôi cố gắng hiểu khó khăn gặp phải khi huấn luyện SAEs với chuẩn L1; từ đó, đề xuất một phiên bản hiệu chỉnh của thuật toán “Stochastic Gradient Descent” (SGD), gọi là “Sleep-Wake Stochastic Gradient Descent” (SW-SGD), để khắc phục khó khăn gặp phải này. Ở đây, chúng tôi tập trung nghiên cứu SAEs với

hàm kích hoạt “rectified linear” ở tầng ẩn vì hàm này tính nhanh và có thể cho tính thưa thật sự (đúng bằng 0); chúng tôi gọi SAEs với hàm kích hoạt này là “Sparse Rectified Auto-Encoders” (SRAEs).

- Về ràng buộc trọng số, có một số cách đã được đề xuất để ràng buộc trọng số của SAEs, nhưng không rõ là tại sao ta lại nên ràng buộc trọng số như vậy. Liệu có cách ràng buộc trọng số nào tốt hơn? Trong luận văn, chúng tôi đề xuất một cách ràng buộc trọng số mới và hợp lý cho SRAEs.

Các kết quả thí nghiệm trên bộ dữ liệu MNIST (bộ ảnh chữ số viết tay từ 0 đến 9) cho thấy:

- Khi huấn luyện SRAEs với chuẩn L1 sẽ gặp phải vấn đề nơ-ron “ngủ” và chiến lược “ngủ - đánh thức” đề xuất của chúng tôi trong thuật toán SW-SGD có thể giúp khắc phục vấn đề này.
- Cách ràng buộc trọng số đề xuất của chúng tôi giúp SRAEs học được những đặc trưng cho kết quả phân lớp tốt nhất so với các cách ràng buộc trọng số khác mà có thể áp dụng cho SRAEs.
- SRAEs với SW-SGD và cách ràng buộc trọng số của chúng tôi có thể học được những đặc trưng cho kết quả phân lớp tốt so với các loại “Auto-Encoders” khác.

Hướng phát triển

Thật ra, luận văn mới chỉ giải quyết được một phần nhỏ và mang tính kỹ thuật (làm cho SAEs hoạt động) của bài toán học đặc trưng không giám sát. Câu hỏi lớn và mang tính định hướng dài hạn là: *Thế nào là một biểu diễn đặc trưng tốt?* Theo GS. Yoshua Bengio, một trong những nhà nghiên cứu tiên phong trong lĩnh vực học biểu diễn đặc trưng, thì: *Một biểu diễn đặc trưng tốt cần **phân tách (disentangle)** được các yếu tố giải thích ẩn bên dưới.* Để phân tách được các yếu tố giải thích ẩn, ta cần có sự hiểu biết trước (prior) về các yếu tố ẩn. Ở đây, ta quan tâm đến các sự hiểu biết trước mang tính tổng quát, có thể áp dụng để học đặc trưng trong nhiều bài toán liên quan đến trí tuệ nhân tạo (thị giác máy tính, xử lý ngôn ngữ tự nhiên, ...). Định hướng phát triển

của luận văn là tích hợp thêm các hiểu biết trước khác vào SAEs nhằm phân tách tốt hơn các yếu tố giải thích ẩn. Dưới đây là một số hiểu biết trước mà có thể tích hợp vào SAEs:

- **Học sâu:** thế giới xung quanh ta có thể được mô tả bằng một kiến trúc phân cấp; cụ thể là, các yếu tố hay các khái niệm (concept) trừu tượng (ví dụ như con mèo, cái cây, ...) bao gồm các khái niệm ít trừu tượng hơn; các khái niệm ít trừu tượng hơn này lại bao gồm các khái niệm ít trừu tượng hơn nữa ... Do đó, ta muốn học nhiều tầng biểu diễn đặc trưng với độ trừu tượng tăng dần. Mặc dù, SRAEs có thể được dùng để học từng tầng đặc trưng một, nhưng mục tiêu mà chúng tôi hướng đến là: học *đồng thời* nhiều tầng biểu diễn đặc trưng một cách không giám sát.
- **Gom cụm tự nhiên:** các mẫu thuộc các lớp khác nhau nằm trên các đa tạp (manifold) khác nhau và các đa tạp này được phân tách tốt với nhau bởi các vùng có mật độ thấp; hơn nữa, số chiều của các đa tạp này nhỏ hơn rất nhiều so với số chiều của không gian ban đầu. Ta thấy rằng sự gom cụm tự nhiên này sẽ dẫn đến tính thưa. Cụ thể là, các đa tạp khác nhau (ứng với các lớp khác nhau) sẽ được mô tả bởi các hệ trục tọa độ khác nhau. Với một véc-tơ đầu vào x thì chỉ có hệ trục tọa độ của đa tạp ứng với lớp mà x thuộc về được kích hoạt. Nếu ta hiểu véc-tơ đặc trưng h của x chứa các hệ số của các hệ trục tọa độ này thì h sẽ thưa bởi vì chỉ có các hệ số của hệ trục tọa độ được kích hoạt là có giá trị khác 0. Do đó, thay vì ràng buộc tính thưa một cách đơn thuần bằng chuẩn L1, ta có thể tìm cách để ràng buộc tính thưa từ góc nhìn gom cụm tự nhiên nói trên.

Phụ Lục: Các Công Trình Đã Công Bố

Hội nghị quốc tế:

- **K. Tran** and B. Le, “Demystifying Sparse Rectified Auto-Encoders,” in *Proceedings of the Fourth Symposium on Information and Communication Technology*, ser. SoICT’13. New York, NY, USA: ACM, 2013, pp. 101–107. [Online]. Available: <http://doi.acm.org/10.1145/2542050.2542065>

**PROCEEDINGS OF
THE FOURTH SYMPOSIUM ON INFORMATION
AND COMMUNICATION TECHNOLOGY**

SoICT 2013

**Da Nang, Vietnam
December 5-6, 2013**

ISBN: 978-1-4503-2454-0

Symposium on Information and Communication Technology 2013

SoICT 2013

Table of Contents

Organization	i
Foreword	iv
Table of Contents	v
Invited Talks	
1 Semantics-based Keyword Search over XML and Relational Databases <i>Tok Wang Ling, Thuy Ngoc Le, Zhong Zeng, National University of Singapore (Singapore)</i>	1
2 The Dawn of Quantum Communication <i>Pramode Verma, University of Oklahoma-Tulsa (USA)</i>	6
3 Data Mobile Cloud Technology: mVDI <i>Eui-nam Huh, Kyunghee University (South Korea)</i>	9
4 Probabilistic Models for Uncertain Data <i>Pierre Senellart, Telecom ParisTech (France)</i>	10
Computing Algorithms and Paradigms	
5 Computer Simulation and Approximate Expression for The Mean Range of Reservoir Storage with GAR(1) Inflows <i>Nguyen Van Hung, Tran Quoc Chien</i>	11
6 A Better Bit-Allocation Algorithm for H.264/SVC <i>Vo Phuong Binh, Shih-Hsuan Yang</i>	18
7 Towards Tangent-linear GPU Programs Using OpenACC <i>Bui Tat Minh, Michael Förster, Uwe Naumann</i>	27
8 An Implementation of Framework of Business Intelligence for Agent-based Simulation <i>Thai Minh Truong, Frédéric Amblard, Benoit Gaudou, Christophe Sibertin-Blanc, Viet Xuan Truong, Alexis Drogoul, Hiep Xuan Huynh, Minh Ngoc Le</i>	35
9 Agent Based Model of Smart Grids for Ecodistricts <i>Murat Ahat, Soufian Ben Amor, Marc Bui</i>	45

10	Initializing Reservoirs with Exhibitory and Inhibitory Signals Using Unsupervised Learning Techniques <i>Sebastián Basterrech, Václav Snáel</i>	53
11	Method Supporting Collaboration in Complex System Participatory Simulation <i>Khanh Nguyen Trong, Nicolas Marilleau, Tuong Vinh Ho, Amal El Fallah Seghrouchni</i>	61
12	Iterated Local Search in Nurse Rostering Problem <i>Sen Ngoc Vu, Minh H.Nhat Nguyen, Le Minh Duc, Chantal Baril, Viviane Gascon, Tien Ba Dinh</i>	71
Knowledge-based and Information Systems		
13	Automatic Feature Selection for Named Entity Recognition Using Genetic Algorithm <i>Huong Thanh Le, Luan Van Tran</i>	81
14	VNLP: An Open Source Framework for Vietnamese Natural Language Processing <i>Ngoc Minh Le, Bich Ngoc Do, Vi Duong Nguyen, Thi Dam Nguyen</i>	88
15	Document Classification Using Semi-supervised Mixture Model of von Mises-Fisher Distributions on Document Manifold <i>Nguyen Kim Anh, Ngo Van Linh, Le Hong Ky, Tam Nguyen The</i>	94
16	Demystifying Sparse Rectified Auto-Encoders <i>Kien Tran, Bac Le</i>	101
17	Time Series Symbolization and Search for Frequent Patterns <i>Mai Van Hoan, Matthieu Exbrayat</i>	108
18	Experiments With Query Translation and Re-ranking Methods In Vietnamese-English Bilingual Information Retrieval <i>Lam Tung Giang, Vo Trung Hung, Huynh Cong Phap</i>	118
19	Toward a Practical Visual Object Recognition System <i>Mao Nguyen, Minh-Triet Tran</i>	123
20	Document Clustering Using Dirichlet Process Mixture Model of von Mises- Fisher Distributions <i>Nguyen Kim Anh, Nguyen The Tam, Ngo Van Linh</i>	131
21	Extraction of Disease Events for Real-time Monitoring System <i>Minh-Tien Nguyen, Tri-Thanh Nguyen</i>	139
22	On the Efficiency of Query-Subquery Nets: An Experimental Point of View <i>Son Thanh Cao</i>	148
23	Hierarchical Emotion Classification Using Genetic Algorithms <i>Ba-Vui Le, Jae Hun Bang, Sungyoung Lee</i>	158

Demystifying Sparse Rectified Auto-Encoders

Kien Tran

Department of Computer Science
Faculty of Information Technology
Vietnam University of Science - HCM
ttkien@fit.hcmus.edu.vn

Bac Le

Department of Computer Science
Faculty of Information Technology
Vietnam University of Science - HCM
lhbac@fit.hcmus.edu.vn

ABSTRACT

Sparse Auto-Encoders can learn features similar to Sparse Coding, but the training can be done efficiently via the back-propagation algorithm as well as the features can be computed quickly for a new input. However, in practice, it is not easy to get Sparse Auto-Encoders working; there are two things that need investigating: sparsity constraint and weight constraint. In this paper, we try to understand the problem of training Sparse Auto-Encoders with L1-norm sparsity penalty, and propose a modified version of Stochastic Gradient Descent algorithm, called Sleep-Wake Stochastic Gradient Descent (SW-SGD), to solve this problem. Here, we focus on Sparse Auto-Encoders with rectified linear units in the hidden layer, called Sparse Rectified Auto-Encoders (SRAEs), because such units compute fast and can produce true sparsity (exact zeros). In addition, we propose a new reasonable way to constrain SRAEs' weights. Experiments on MNIST dataset show that the proposed weight constraint and SW-SGD help SRAEs successfully learn meaningful features that give excellent performance on classification task compared to other Auto-Encoder variants.

Categories and Subject Descriptors

I.2.6 [Artificial Intelligence]: Learning—*connectionism and neural nets, concept learning, parameter learning*; I.2.10 [Artificial Intelligence]: Vision and Scene Understanding—*representation, data structures, and transforms*; I.4.7 [Image Processing and Computer Vision]: Feature Measurement—*feature representation*

General Terms

Algorithms, Design, Experimentation

Keywords

unsupervised feature learning, deep learning, sparse coding, sparse auto-encoders, rectified linear units

Permission to make digital or hard copies of all or part of this work for personal or classroom use is granted without fee provided that copies are not made or distributed for profit or commercial advantage and that copies bear this notice and the full citation on the first page. Copyrights for components of this work owned by others than ACM must be honored. Abstracting with credit is permitted. To copy otherwise, or republish, to post on servers or to redistribute to lists, requires prior specific permission and/or a fee. Request permissions from Permissions@acm.org.

SoICT'13, December 05 - 06 2013, Danang, Viet Nam
Copyright 2013 ACM 978-1-4503-2454-0/13/12\$15.00.
<http://dx.doi.org/10.1145/2542050.2542065>.

1. INTRODUCTION

Recently, unsupervised feature learning and deep learning have attracted a lot of interest from various fields such as computer vision, audio processing, text processing, and so on. The idea is that instead of designing features manually, one lets the learning algorithms automatically learn features from unlabeled data; and deep learning means learning multiple levels of features with increasing abstraction. Auto-Encoders (AEs) and Restricted Boltzmann Machines (RBMs) are two main groups of algorithms that have been used in unsupervised feature learning and deep learning [1]. AEs belong to the non-probabilistic group while RBMs belong to the probabilistic group. One big disadvantage of RBMs compared to AEs is that the objective function of RBMs is intractable. For this reason, here we will focus on the study of AEs.

Several criteria have been proposed to guide AEs to learn useful representation. They include: sparsity criterion [6], denoising criterion [14], and contraction criterion [13, 12]. Among them, sparsity is an interesting and promising one (here sparsity means forcing the majority of elements of the feature vector to be zeros). The first reason is that it has the inspiration from biology. In the brain, there is a very small fraction of neurons active simultaneously. Sparsity was first introduced in Sparse Coding and interestingly, it helped learn features similar to the primary visual cortex [11]. AEs with sparsity criterion, called Sparse Auto-Encoders (SAEs), can learn features much like Sparse Coding, but unlike Sparse Coding, the training can be done efficiently via the back-propagation algorithm, and with a new input, the features can be computed quickly. Secondly, sparsity can help learn high-level features - concepts. The intuitive justification is that there are only a few concepts per example; therefore, sparsity can help learn a dictionary of concepts and each example will be explained just by a small number of concepts. Thirdly, sparsity can potentially help speed up the training of SAEs. With each example, in the forward propagation phase, there is only a small fraction of neurons active; and hence, in the backward propagation phase, there is only a small fraction of parameters (corresponding to active neurons) updated. This point can be made use of to speed up the training process. It is important because if the training is fast, the model can be scaled up (i.e. increase the number of features); in unsupervised feature learning and deep learning, large-scale is a key factor to get good performance [4, 7].

Despite above advantages, it is not easy to get SAEs working in practice. To make SAEs work, there are two things

that need investigating: sparsity constraint and weight constraint. Although L1-norm is a natural (because it is used in Sparse Coding) and simple (in case the feature vector has positive values, it is just simply sum of them) way to constrain sparsity, it is not often used in SAEs for reasons that remain to be understood [1]. Instead of L1-norm, people often constrain sparsity in SAEs by pushing the average output of a hidden neuron (e.g. over a minibatch) to a fixed target (close to zero) [6, 4, 3]. But this fixed target adds one more hyper-parameter to the list of SAEs' hyper-parameters which already has many ones. As a result, the process of tuning hyper-parameters will become more tedious and more time-consuming. Regarding weight constraint, many different ways were used in the literature. [3, 14, 13, 12] tied the weights of encoder and decoder together. [6, 4] used weight decay; this way even adds one more hyper-parameter. [15] constrained the weights of decoder to have unit norm. However, it is not clear which way should be used as well as why weights should be constrained like those.

Two questions remain to be answered: (i) why is L1-norm sparsity penalty not often used in SAEs?; (ii) is there a better and more reasonable way to constrain SAEs' weights? In this paper, we try to understand the problem of training SAEs with L1-norm sparsity penalty. Then, we propose a modified version of Stochastic Gradient Descent algorithm (SGD), called Sleep-Wake Stochastic Gradient Descent (SW-SGD), to remedy this problem. Here we focus on SAEs with rectified linear units (ReLUs) in the hidden layer because such units compute fast and can produce true sparsity (exact zeros) [10, 5, 15]. We call these Sparse Rectified Auto-Encoders (SRAEs). Furthermore, we propose a new reasonable way to constrain SRAEs' weights. With these two ingredients, our proposed weight constraint and SW-SGD, our experiments show that SRAEs can successfully learn meaningful features that give excellent classification performance on MNIST dataset compared to other Auto-Encoder variants.

The rest of the paper is organized as follows. We start by reviewing Sparse Coding and Sparse Auto-Encoders (SAEs) to see advantages of SAEs compared to Sparse Coding. Then, Section 3 presents Sparse Rectified Auto-Encoders (SRAEs): Subsection 3.1 explains the problem of training SRAEs with L1-norm sparsity penalty and describes our remedy for this problem; Subsection 3.2 presents our proposed weight constraint for SRAEs. Experiment and analysis are shown in Section 4 followed by the conclusion in Section 5.

2. REVIEW OF SPARSE CODING AND SPARSE AUTO-ENCODERS

2.1 Sparse Coding

Sparse Coding was first introduced in neuroscience to model the primary visual cortex [11]. The goal is to find an over-complete set of basic vectors so that each input can be explained just by a small number of basis vectors (i.e. the feature vector is sparse). Specifically, given the unlabeled data $\{x^{(1)}, \dots, x^{(N)}\}$ with $x^{(n)} \in \mathbb{R}^D$, Sparse Coding solves the following optimization problem:

$$\begin{aligned} & \underset{\phi, a}{\text{minimize}} && \sum_{n=1}^N \left(\|x^{(n)} - \sum_{k=1}^K a_k^{(n)} \phi^{(k)}\|_2^2 + \lambda \|a^{(n)}\|_1 \right) \\ & \text{subject to} && \|\phi^{(k)}\|_2^2 = 1, \forall k = 1, \dots, K \end{aligned} \quad (1)$$

Here, the optimization variables are the *basis vectors* $\phi = \{\phi^{(1)}, \dots, \phi^{(K)}\}$ with each $\phi^{(k)} \in \mathbb{R}^D$, and the *coefficient vectors* (the feature vectors) $a = \{a^{(1)}, \dots, a^{(N)}\}$ with each $a^{(n)} \in \mathbb{R}^K$; $a_k^{(n)}$ is the coefficient of basic $\phi^{(k)}$ for input $x^{(n)}$. With this optimization problem, we want to learn a representation having the following properties:

- Preserving information about the input (by minimizing the reconstruction error).
- Being sparse (by minimizing the L1-norm of the feature vector).

λ is the hyper-parameter controlling the trade-off between reconstruction error and sparsity penalty.

The problem (1) can be solved by iteratively optimizing over a and ϕ alternately while holding the other set of variables fixed [9]. However, this process often takes a long time to converge. Furthermore, after training, to find the feature vector for a new input, we still have to do optimization (with fixed ϕ).

2.2 Sparse Auto-Encoders

An Auto-Encoder (AE) is a feed-forward neural network with two layers. The first layer, called *encoder*, maps the input x to the hidden representation a : $a = f(W^{(e)}x + b^{(e)})$ where $f(\cdot)$ is some activation function (e.g. sigmoid), $W^{(e)}$ and $b^{(e)}$ are parameters of the encoder. The second layer, called *decoder*, then tries to reconstruct the input from the hidden representation a : $\hat{x} = W^{(d)}a + b^{(d)}$ where \hat{x} is the reconstructed input, $W^{(d)}$ and $b^{(d)}$ are parameters of the decoder. In this way, we hope that the hidden representation can capture the structure of the input.

In Sparse Auto-Encoders (SAEs), besides reconstruction error, we also constrain the representation to be sparse (i.e. with a input, there are only a few hidden neurons active). Specifically, given the unlabeled data $\{x^{(1)}, \dots, x^{(N)}\}$ with $x^{(n)} \in \mathbb{R}^D$, SAEs minimize the following objective function:

$$J(W^{(e)}, b^{(e)}, W^{(d)}, b^{(d)}) = \sum_{n=1}^N \|x^{(n)} - \hat{x}^{(n)}\|_2^2 + \lambda s(a^{(n)}) \quad (2)$$

where: $a^{(n)} = f(W^{(e)}x^{(n)} + b^{(e)})$; $\hat{x}^{(n)} = W^{(d)}a^{(n)} + b^{(d)}$; $s(\cdot)$ is some function that encourages the feature vector $a^{(n)}$ to be sparse; and λ is the hyper-parameter controlling the trade-off between reconstruction error and sparsity penalty.

Similar to Sparse Coding, SAEs aim at learning a representation that both preserves information about the input and is sparse. The difference between them is that SAEs have an explicit parametric encoder, while Sparse Coding has an implicit non-parametric encoder. This point helps training SAEs be more efficient than Sparse Coding; it can be done via the back-propagation algorithm. In addition, with a new input, SAEs can compute the corresponding feature vector very quickly just by one step.

3. SPARSE RECTIFIED AUTO-ENCODERS

The typical activation functions have been used in neural networks are the sigmoid function and the tanh function. Recently, a new activation function which have been found to work very well is the rectified linear function [10, 5, 15]:

$f(x) = \max(0, x)$. Units with such activation function are called rectified linear units (ReLU).

ReLU fits well with SAEs because such units naturally produce a sparse feature vector. Unlike logistic units that give small positive values when the input is not aligned with the filters (the incoming weight vectors of hidden units), ReLU often gives exact zeros. Furthermore, ReLU computes faster than logistic or tanh units because they do not involve exponentiation and division; they just have to compute the max operation. Finally, ReLU can potentially help jointly train multi-layers of features (instead of training layer by layer in greedy fashion) because ReLU has been used to train supervised deep networks successfully [5, 15]. Therefore, here we will focus on SAEs with ReLU (in the hidden layer). We call them Sparse Rectified Auto-Encoders (SRAEs).

3.1 Sparsity Constraint in SRAEs

The typical way that has been used to constrain sparsity in Sparse Auto-Encoders (SAEs) is pushing the average output \bar{a}_j of hidden neuron j (over a minibatch) to some fixed target ρ (a value close to zero) [6, 4, 3]. In case the hidden neuron's output $\in [0, 1]$ (e.g. sigmoid unit), this can be done through the Kullback-Leibler (KL) divergence: $\sum_j \text{KL}(\rho \parallel \bar{a}_j) = \sum_j \rho \log \frac{\rho}{\bar{a}_j} + (1 - \rho) \log \frac{(1-\rho)}{(1-\bar{a}_j)}$. In case using ReLU, the squared error can be used: $\sum_j (\bar{a}_j - \rho)^2$. Note that this way does not directly encourage the feature vector (corresponding to an example) to be sparse, but encourages the values of a feature (the outputs of a hidden neuron) over examples to be sparse. It, however, indirectly leads to a sparse feature vector because the reconstruction error tends to make learned features differ from each other; therefore, with an example, if some feature is active (having a non-zero value), the majority of the rest will be inactive (having a zero value).

This way, however, adds one more hyper-parameter (the fixed target ρ) to the list of SAEs' hyper-parameters which already has many ones (the trade-off parameter λ , the number of features, learning rate, minibatch size, and so on). As a result, the process of tuning hyper-parameters will become more annoying and more time-consuming. Why do not use L1-norm? It is natural because L1-norm is used in Sparse Coding. In addition, it doesn't have any extra hyper-parameter. It is also very simple; in case using ReLU, it is just the sum of elements of the feature vector a . In the following section, we will explain the problem of training SAEs, in particular SRAEs, with L1-norm.

3.1.1 The Difficulty of Training SRAEs with L1-norm

The problem of training SAEs with L1-norm is that during the optimization process, L1-norm can drive the incoming weight vector of a hidden neuron to the state in which the hidden neuron is always inactive (produce zero with all examples in the dataset). And once the incoming weight vector has been in such a state, it will be stuck there forever and never get updated; the outgoing weight vector of this hidden neuron will also never get updated. Formally, let's consider a hidden neuron j which has a weight $W_{ji}^{(e)}$ connecting to an input neuron i and a weight $W_{kj}^{(d)}$ connecting to an output neuron k . The gradients of the objective function J in equation (2) (with the sparsity function $s(\cdot) = \|\cdot\|_1$) with

respect to $W_{ji}^{(e)}$ and $W_{kj}^{(d)}$ are:

$$\frac{\partial J}{\partial W_{kj}^{(d)}} = \sum_{n=1}^N 2(\hat{x}_k^{(n)} - x_k^{(n)})a_j^{(n)} \quad (3)$$

$$\frac{\partial J}{\partial W_{ji}^{(e)}} = \sum_{n=1}^N (\epsilon_j^{(n)} + \lambda)f'(a_j^{(n)})x_i^{(n)} \quad (4)$$

where:

- $x_k^{(n)}$ and $\hat{x}_k^{(n)}$ are respectively the k^{th} element of the input vector $x^{(n)}$ and the reconstructed input vector $\hat{x}^{(n)}$.
- $a_j^{(n)}$ is the j^{th} element of the feature vector $a^{(n)}$.
- $\epsilon_j^{(n)}$ is the "error" that the hidden neuron j receives from the output layer (corresponding to the input $x^{(n)}$).

From equations (3) and (4), one can easily see that, during the optimization, if once the hidden neuron j has been in the state having a_j equal zero with all examples, the gradients $\frac{\partial J}{\partial W_{kj}^{(d)}}$ and $\frac{\partial J}{\partial W_{ji}^{(e)}}$ will be zeros with all examples (in case $f(\cdot)$ is the rectified linear function, the derivative $f'(0)$ equals 0) and the weights of this neuron will never get updated anymore. We call such neurons "sleep" neurons. Especially, the "easy to get exact zeros" property of ReLU can make this problem easier to happen during the optimization.

The above problem may explain why people often don't use L1-norm in SAEs but instead, push the average output of a hidden neuron to a fixed target close to zero (but not zero!); this way may prevent the hidden neuron from the situation in which it is inactive for all examples and then never get updated. With sigmoid units, the KL divergence can be used and the average output cannot be zero because if so, the KL divergence will give an infinite penalty. With ReLU, the KL divergence cannot be used because the outputs of ReLU are not in $[0, 1]$. The squared error can be used instead but we found experimentally that the "sleep" neuron problem still happens. It is because with a zero average output, unlike the KL divergence, the squared error still gives a very small penalty. See Figure 1 for a comparison of them with the fixed target ρ of 0.1.

Although using L1-norm, Sparse Coding clearly doesn't have this problem because the encoder of Sparse Coding is implicit.

3.1.2 Sleep-Wake Stochastic Gradient Descent

To remedy the problem of training SRAEs with L1-norm, we propose a modified version of Stochastic Gradient Descent algorithm (SGD), called Sleep-Wake Stochastic Gradient Descent (SW-SGD). The idea is that during each epoch of SGD, we track the average outputs of hidden neurons. Then, after each epoch, we check if there are any "sleep" neurons (having the average output equal zero), and we will "wake-up" them by simply re-initializing their incoming weight vectors (including the biases). Despite its simplicity, our experiments showed that this strategy can help SRAEs successfully learn meaningful features without any "sleep" features.

3.2 Weight Constraint in SRAEs

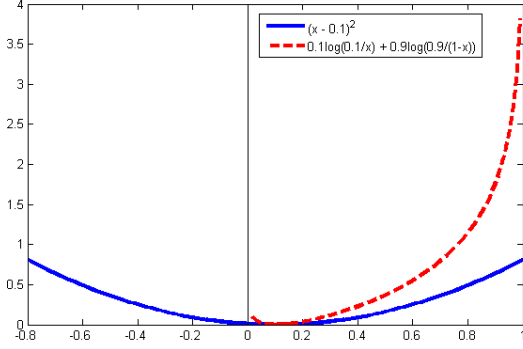


Figure 1: Comparison of KL divergence to squared error with the fixed target ρ of 0.1. When the average output of a hidden neuron is zero, KL divergence gives an infinite penalty while squared error still gives a very small penalty.

Besides sparsity constraint, weight constraint is also a key ingredient to get SAEs working. There are several ways have been used to constrain SAEs’ weights:

- **Tied weights:** the weights of encoder and decoder are tied together ($W^{(d)} = (W^{(e)})^T$) [3]. This way was also used in other Auto-Encoder variants such as Denoising Auto-Encoders and Contractive Auto-Encoders [14, 13, 12]. Note that all [3, 14, 13, 12] used sigmoid units in the hidden layer. There is a trivial descent direction of SAEs’ objective function in which the hidden neuron’s output a_j is scaled down (by scaling down the incoming weight vector of this hidden neuron) and the outgoing weight vector of this hidden neuron is scaled up by some large constant; as a result, the sparsity penalty can decrease arbitrary while the reconstruction error is unchanged. Tied weights can help prevent from this trivial direction, but it is not clear what is going on when the encoder’s weights and the decoder’s weights are tied together, especially in case using sigmoid units.
- **$W^{(d)}$ norm constraint:** [15] constrained the basis vectors of the decoder (the outgoing weight vectors of hidden neurons) to have unit norm. This constraint is similar to Sparse Coding and also helps prevent from the scale problem. But how about the encoder’s weights? For example, to be fair between features, the incoming weight vectors of hidden neurons should have the same norm.
- **Weight decay:** weights of the encoder and decoder are kept small by penalizing the sum of squares of them [6, 4]. As two previous ways, this way prevents SAEs from the scale problem too. It can be interpreted as a “soft” way to constrain the norms of the incoming weights vector of hidden units to be approximately equal to each other and the norms of the outgoing weight vectors of hidden units to be approximately equal to each other. However, this way introduces one more hyper-parameter; it’s annoying.

3.2.1 Our Proposed Weight Constraint for SRAEs

In this section, we propose a reasonable way to constrain SRAEs’ weights. It also doesn’t introduce any extra hyper-parameter. Concretely, our way consists of two constraints:

- First, we tie the encoder’s weights and the decoder’s weights together: $W^{(d)} = (W^{(e)})^T$
- Second, we also constrain the incoming weight vectors as well as the outgoing weight vectors of hidden units to have unit norm.

With an example x , if one just pays attention to non-zero rectified linear units, the whole system is a linear system. Therefore, with two above constraints, the encoder will project linearly the input vector x onto a few normalized basis vectors (in the whole set of normalized basis vectors) corresponding to non-zero hidden units; and then, the decoder will reconstruct the input vector from these basis vectors: $\hat{x} = W^T W x$ where x is a column vector and rows of W corresponds to normalized basis vectors selected by ReLUs (here, we just ignore the biases for simplicity). In other words, with above constraints, SRAEs will learn a set of normalized basis vectors such that different inputs can be explained by different small subsets of basis vectors (by projecting linearly the input onto the subset of basis vectors selected by ReLUs and then reconstructing the input from this subset).

The second constraint, however, cannot be enforced by gradient-based methods. To overcome this problem, we change the forward propagation formula of SRAEs as follows:

$$\hat{x} = (\hat{W}^{(e)})^T \max(0, \hat{W}^{(e)} x + b^{(e)}) + b^{(d)} \quad (5)$$

where $\hat{W}^{(e)}$ is a row-normalized matrix of $W^{(e)}$ (each row of $W^{(e)}$ corresponds to an unnormalized basis vector). Here, the learned parameters are still $W^{(e)}$, $b^{(e)}$, and $b^{(d)}$. In this way, gradient-based methods can be used as usual.

Finally, the first constraint, tied weights, also helps save about half of memory compared to untied weights. It will be beneficial when using GPU (for parallel computing).

4. EXPERIMENTS

4.1 Setup

We experimented on the MNIST dataset which composes of grayscale images (28×28 pixels) of 10 hand-written digits (from 0 to 9) [8]. Figure 2 shows some examples of this dataset. The images were preprocessed by scaling to $[0, 1]$. We used the usual split: 50,000 examples for training, 10,000 examples for validation, and 10,000 examples for test.

We conducted all experiments using the Python Theano library [2], which allows for quick development and easy use of GPU (for parallel computing). We used a single NVIDIA GTX 560 GPU.

After the unsupervised feature learning phase, we evaluated the learned features by feeding them to a softmax regression and measuring the classification error. Concretely, given the training set $\{(x^{(1)}, y^{(1)}), \dots, (x^{(N)}, y^{(N)})\}$ where $x^{(i)} \in \mathbb{R}^D$ is the image vector and $y^{(i)} \in \{0, \dots, 9\}$ is the class label, we fed $x^{(i)}$ to the trained Auto-Encoder (the Auto-Encoder was trained on the unlabeled data $\{x^{(1)}, \dots, x^{(N)}\}$)



Figure 2: Some examples of MNIST dataset

to get the corresponding feature vector $f^{(i)}$; by this way, we got the new training set $\{(f^{(1)}, y^{(1)}), \dots, (f^{(N)}, y^{(N)})\}$. Then, we used this new training set to train a softmax regression. With a test example x , we first used the trained Auto-Encoder to compute the feature vector f ; then, we fed f to the trained softmax regression to get the class prediction.

In both unsupervised and supervised phase, we used Stochastic Gradient Descent as the optimization algorithm with mini-batch size 100 and early stopping (in the unsupervised phase, we stopped the optimization based on the objective value on the validation set; in the supervised phase, we based on the classification error on the validation set). In all experiments, we used SRAEs with 1000 hidden units, a trade-off parameter λ of 0.25, an unsupervised learning rate of 0.05, and a supervised learning rate of 1.

4.2 SGD versus SW-SGD

To see the problem of training SRAEs with L1-norm sparsity penalty and the effect of our “sleep-wake” strategy, we compared training SRAEs with ordinary Stochastic Gradient Descent (SGD) and our modified version, Sleep-Wake Stochastic Gradient Descent (SW-SGD). In this experiment, we used our proposed weight constraint (tied weights + $W^{(e)}$ norm constraint + $W^{(d)}$ norm constraint).

Figure 3 shows the number of “sleep” hidden neurons of SRAEs during the optimization process with SGD and with SW-SGD. The problem of training SRAEs with L1-norm sparsity penalty is that during the optimization, L1 penalty can push the incoming weight vectors of hidden neurons to “sleep” states (meaning that the corresponding hidden neurons always give zero outputs with all examples in the dataset) and then, they will never get updated anymore; as can be seen from the figure, with ordinary SGD, the number of “sleep” neurons increased during the optimization, especially during the first epochs when the optimization had not stable yet. The SGD optimization finally ended up with 228/1000 “sleep” neurons. This problem of L1 penalty can be remedied by our simple “sleep-wake” strategy; the SW-SGD optimization ended up without any “sleep” neurons.

Figure 4 visualizes some example filters (the incoming weight vectors of hidden neurons) learned by SGD and SW-SGD. With SGD, there are five “sleep” filters; they look meaningless. With SW-SGD, there are not any “sleep” fil-

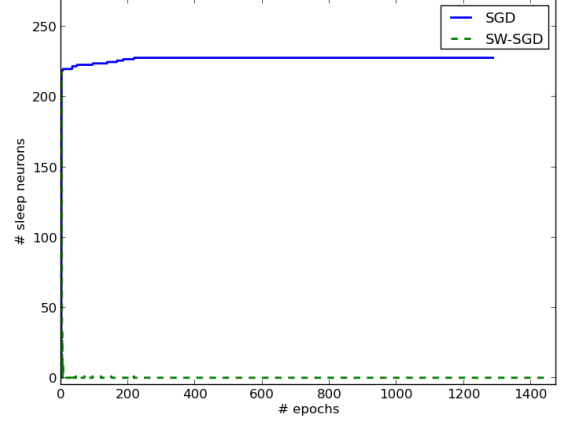


Figure 3: The number of “sleep” hidden neurons of SRAEs during the optimization process with SGD and SW-SGD. The optimization of SGD ended up with 228/1000 “sleep” neurons while SW-SGD ended up without any “sleep” neurons. (These two optimizations terminated after different number of epochs because of the early stopping strategy.)

ters; all of them look meaningful, like “pen stroke” detectors.

Making use of all filters, SW-SGD achieved better training unsupervised objective value and better test classification performance (with softmax regression) than SGD (Table 1).

4.3 Our Proposed Weight Constraint versus Other Weight Constraints

In this second experiment, we compared our proposed weight constraint for SRAEs to other weight constraints that are possible to be applied to SRAEs. Concretely, we considered the following weight constraints:

- $W^{(d)}$ **norm constraint**: the outgoing weight vectors of hidden units (the columns of $W^{(d)}$) are constrained to have unit norm.

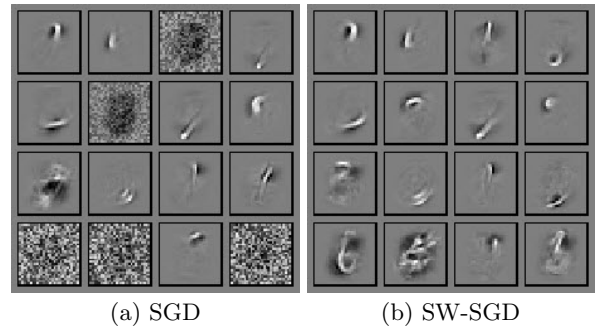


Figure 4: Figure (a) shows example filters learned by SGD; one can recognize there are five “sleep” filters looking meaningless. Figure (b) shows example filters learned by SW-SGD; all filters look meaningful, like “pen stroke” detectors.

Table 1: Unsupervised objective value on the training set and classification error (with softmax regression) on the test set when training SRAEs with SGD and with SW-SGD

	SGD	SW-SGD
Train Unsupervised Objective Value	9.84	9.48
Test Classification Error (%)	1.70	1.62

- $W^{(e)}$ & $W^{(d)}$ **norm constraint**: both the incoming and outgoing weight vectors of hidden units (the rows of $W^{(e)}$ and the columns of $W^{(d)}$ respectively) are constrained to have unit norm.
- **Tied weights**: the encoder’s weights and the decoder’s weights are tied together ($W^{(d)} = (W^{(e)})^T$).

Our weight constraint combines both $W^{(e)}$ & $W^{(d)}$ **norm constraint** and **tied weights**. In this experiment, we used SW-SGD to train SRAEs. As can be seen from Table 2, our weight constraint gave the best test classification performance (with softmax regression). In the last column, we also show the (approximate) training time per epoch of SRAEs with these different weight constraints (because of the early stopping strategy, the training processes of SRAEs with different weight constraints can terminate after different number of epochs; therefore, it will be more accurate to compare them in term of the training time per epoch rather than the total training time). Weight constraints sorted from lowest to highest training time per epoch are: tied weights (2 seconds), $W^{(d)}$ norm constraint (3 seconds), our weight constraint (4 seconds), and $W^{(e)}$ & $W^{(d)}$ norm constraint (5 seconds). This order is reasonable because:

- In tied weights, SRAE doesn’t have to do normalization in the forward propagation phase.
- In $W^{(d)}$ norm constraint, SRAE’s decoder has to do normalization in the forward propagation phase; and because of this, in the back-propagation phase, the computation of derivatives with respect to the decoder’s parameters will also become more expensive than usual.
- In our weight constraint, although we have to do normalization in both the encoder and decoder, we just have to compute the encoder’s normalized weights and use them for the decoder thanks to the tied weights constraint. Its epoch time is higher than $W^{(d)}$ norm constraint above because in the back-propagation phase, the computation of derivatives with respect to both the encoder’s parameters and the decoder’s parameters is more expensive than usual.
- In $W^{(e)}$ & $W^{(d)}$ norm constraint, the training time per epoch is highest because SRAE has to do normalization in the encoder and decoder separately and the computation of derivatives with respect to both the encoder’s parameters and the decoder’s parameters is more expensive than usual.

Although the training time per epoch of our weight constraint is pretty high compared to other weight constraints, it’s still fast (thanks to the use of GPU). Its total training time is roughly 2.5 hours.

Table 2: Comparison of our weight constraint to other possible weight constraints. Our weight constraint gave the best classification performance (with softmax regression) on the test set. The last column shows the training time per epoch (roughly) of SRAEs with these different weight constraints.

Weight Constraint	Test Error (%)	Epoch Time (sec)
$W^{(d)}$ norm constraint	3.28	3
$W^{(e)}$ & $W^{(d)}$ norm constraint	2.51	5
Tied weights	2.04	2
Our weight constraint	1.62	4

Table 3: Comparison of SRAEs (with our weight constraint and SW-SGD) to other Auto-Encoder variants, including: Denoising Auto-Encoders (DAEs), Contractive Auto-Encoders (CAEs), and Higher Order Contractive Auto-Encoders (HCAEs), in term of classification error (with softmax regression) on the test set

Feature Learning Algorithm	Test Error (%)
DAEs [12]	2.05
CAEs [12]	1.82
SRAEs	1.62
HCAEs [12]	1.20

4.4 SRAEs versus Other Auto-Encoder Variants

Finally, we also compared SRAEs (with our weight constraint and SW-SGD) to other Auto-Encoder variants, including:

- **Denoising Auto-Encoders (DAEs)** [14]: want to learn robust features by making the input corrupted and trying to reconstruct the “clean” input from this corrupted version.
- **Contractive Auto-Encoders (CAEs)** [13]: want to learn features robust to small changes of the input by besides the reconstruction error, penalizing the Frobenius norm of the Jacobian of the feature vector with respect to the input vector.
- **Higher Order Auto-Encoders (HCAEs)** [12]: are the extension of CAEs; besides the reconstruction error and the Jacobian norm, HCAEs also penalize the approximated Hessian norm.

Table 3 compares the test classification performance of SRAEs to these Auto-Encoder variants. Note that with DAEs, CAEs, and HCAEs, [12] used 1000 hidden units, the sigmoid activation function in the hidden and output layer, the cross-entropy reconstruction error, and tied weights. Our SRAEs were better in term of test classification performance than DAEs and CAEs but worse than HCAEs. However, HCAEs are more complicated than our SRAEs with many hyper-parameters which need to be tuned.

5. CONCLUSION

In this paper, we have investigated SRAEs and in particular, two key ingredients to get SRAEs working: spar-

sity constraint and weight constraint. We have tried to understand the optimization problem when training SRAEs with L1-norm sparsity penalty and proposed a simple modified version of SGD, called SW-SGD, to remedy this problem. We have also proposed a reasonable weight constraint for SRAEs. Our experiments on the MNIST dataset have shown that our weight constraint and SW-SGD work well with SRAEs and can help SRAEs learn meaningful features that give excellent classification performance compared to other Auto-Encoder variants.

Our future work will include:

- Making use of sparsity to speed up the training.
- Unsupervised deep learning: SRAEs can be used to learn multiple layers of representation in greedy fashion but the interesting question is how to jointly learn multiple layers of representation?

6. REFERENCES

- [1] Y. Bengio, A. C. Courville, and P. Vincent. Unsupervised feature learning and deep learning: A review and new perspectives. *CoRR*, abs/1206.5538, 2012.
- [2] J. Bergstra, O. Breuleux, F. Bastien, P. Lamblin, R. Pascanu, G. Desjardins, J. Turian, D. Warde-Farley, and Y. Bengio. Theano: a CPU and GPU math expression compiler. In *Proceedings of the Python for Scientific Computing Conference (SciPy)*, June 2010. Oral Presentation.
- [3] A. Coates. *Demystifying Unsupervised Feature Learning*. PhD thesis, Stanford University, 2012.
- [4] A. Coates, A. Y. Ng, and H. Lee. An analysis of single-layer networks in unsupervised feature learning. In *International Conference on Artificial Intelligence and Statistics*, pages 215–223, 2011.
- [5] X. Glorot, A. Bordes, and Y. Bengio. Deep sparse rectifier networks. In *Proceedings of the 14th International Conference on Artificial Intelligence and Statistics. JMLR W&CP Volume*, volume 15, pages 315–323, 2011.
- [6] I. Goodfellow, H. Lee, Q. V. Le, A. Saxe, and A. Y. Ng. Measuring invariances in deep networks. In *Advances in neural information processing systems*, pages 646–654, 2009.
- [7] Q. Le, M. Ranzato, R. Monga, M. Devin, K. Chen, G. Corrado, J. Dean, and A. Ng. Building high-level features using large scale unsupervised learning. In J. Langford and J. Pineau, editors, *Proceedings of the 29th International Conference on Machine Learning (ICML-12)*, ICML ’12, pages 81–88, New York, NY, USA, July 2012. Omnipress.
- [8] Y. LeCun. The MNIST database. <http://yann.lecun.com/exdb/mnist/>.
- [9] H. Lee, A. Battle, R. Raina, and A. Ng. Efficient sparse coding algorithms. In *Advances in neural information processing systems*, pages 801–808, 2006.
- [10] V. Nair and G. E. Hinton. Rectified linear units improve restricted boltzmann machines. In *Proceedings of the 27th International Conference on Machine Learning (ICML-10)*, pages 807–814, 2010.
- [11] B. A. Olshausen et al. Emergence of simple-cell receptive field properties by learning a sparse code for natural images. *Nature*, 381(6583):607–609, 1996.
- [12] S. Rifai, G. Mesnil, P. Vincent, X. Muller, Y. Bengio, Y. Dauphin, and X. Glorot. Higher order contractive auto-encoder. *Machine Learning and Knowledge Discovery in Databases*, pages 645–660, 2011.
- [13] S. Rifai, P. Vincent, X. Muller, X. Glorot, and Y. Bengio. Contractive auto-encoders: Explicit invariance during feature extraction. In *Proceedings of the 28th International Conference on Machine Learning (ICML-11)*, pages 833–840, 2011.
- [14] P. Vincent, H. Larochelle, Y. Bengio, and P.-A. Manzagol. Extracting and composing robust features with denoising autoencoders. In *Proceedings of the 25th international conference on Machine learning*, pages 1096–1103. ACM, 2008.
- [15] M. Zeiler, M. Ranzato, R. Monga, M. Mao, K. Yang, Q. Le, P. Nguyen, A. Senior, V. Vanhoucke, J. Dean, et al. On rectified linear units for speech processing. ICASSP, 2013.

TÀI LIỆU THAM KHẢO

- [1] Y. Bengio, A. Courville, and P. Vincent, “Representation learning: A review and new perspectives,” 2013.
- [2] J. Bergstra, O. Breuleux, F. Bastien, P. Lamblin, R. Pascanu, G. Desjardins, J. Turian, D. Warde-Farley, and Y. Bengio, “Theano: a CPU and GPU math expression compiler,” in *Proceedings of the Python for Scientific Computing Conference (SciPy)*, Jun. 2010, oral Presentation. [12](#)
- [3] A. Coates, “Demystifying unsupervised feature learning,” Ph.D. dissertation, Stanford University, 2012.
- [4] A. Coates, A. Y. Ng, and H. Lee, “An analysis of single-layer networks in unsupervised feature learning,” in *International Conference on Artificial Intelligence and Statistics*, 2011, pp. 215–223.
- [5] X. Glorot, A. Bordes, and Y. Bengio, “Deep sparse rectifier networks,” in *Proceedings of the 14th International Conference on Artificial Intelligence and Statistics. JMLR W&CP Volume*, vol. 15, 2011, pp. 315–323.
- [6] I. Goodfellow, H. Lee, Q. V. Le, A. Saxe, and A. Y. Ng, “Measuring invariances in deep networks,” in *Advances in neural information processing systems*, 2009, pp. 646–654.
- [7] Q. V. Le, A. Karpenko, J. Ngiam, and A. Y. Ng, “Ica with reconstruction cost for efficient overcomplete feature learning,” in *NIPS*, 2011, pp. 1017–1025.
- [8] Y. LeCun, “The MNIST database,” <http://yann.lecun.com/exdb/mnist/>. [11](#)

- [9] H. Lee, A. Battle, R. Raina, and A. Ng, “Efficient sparse coding algorithms,” in *Advances in neural information processing systems*, 2006, pp. 801–808.
- [10] V. Nair and G. E. Hinton, “Rectified linear units improve restricted boltzmann machines,” in *Proceedings of the 27th International Conference on Machine Learning (ICML-10)*, 2010, pp. 807–814.
- [11] B. A. Olshausen *et al.*, “Emergence of simple-cell receptive field properties by learning a sparse code for natural images,” *Nature*, vol. 381, no. 6583, pp. 607–609, 1996.
- [12] S. Rifai, G. Mesnil, P. Vincent, X. Muller, Y. Bengio, Y. Dauphin, and X. Glorot, “Higher order contractive auto-encoder,” *Machine Learning and Knowledge Discovery in Databases*, pp. 645–660, 2011. [13](#), [18](#), [19](#)
- [13] S. Rifai, P. Vincent, X. Muller, X. Glorot, and Y. Bengio, “Contractive auto-encoders: Explicit invariance during feature extraction,” in *Proceedings of the 28th International Conference on Machine Learning (ICML-11)*, 2011, pp. 833–840. [18](#)
- [14] P. Vincent, H. Larochelle, Y. Bengio, and P.-A. Manzagol, “Extracting and composing robust features with denoising autoencoders,” in *Proceedings of the 25th international conference on Machine learning*. ACM, 2008, pp. 1096–1103. [18](#)
- [15] M. D. Zeiler, “Hierarchical convolutional deep learning in computer vision,” Ph.D. dissertation, New York University, 2014.
- [16] M. Zeiler, M. Ranzato, R. Monga, M. Mao, K. Yang, Q. Le, P. Nguyen, A. Senior, V. Vanhoucke, J. Dean *et al.*, “On rectified linear units for speech processing.” ICASSP, 2013.